

# İZ VE NADİR TOPRAK ELEMENTLERİN K-FELDSPATLAR İLE MAGMA ERGİYİĞİ ARASINDA DAĞILIMI

## PARTITIONING OF TRACE AND RARE EARTH ELEMENTS BETWEEN K-FELDSPARS AND MELT

Mehmet KESKİN

İ. Ü., Mühendislik Fakültesi Jeoloji Mühendisliği Bölümü,  
34850 Avcılar/İstanbul

**ÖZ:** Elementlerin mineral-ergiyik dağılım katsayıları ( $K_d$ ), jeokimya ve petroloji konulu çalışmalarında büyük öneme sahiptir. Çeşitli minerallerin  $K_d$  değerleri özellikle petrolojik modellemelerin vazgeçilmez bileşenleridir. K-feldspatlar magma evrimi boyunca kristalleşen önemli minerallerden biridir ve kimyasal bileşimleri, magma-nın evrimine ait bazı önemli bilgileri kaydetme potansiyeline sahiptir. Bunlardan sanidin ve anortoklas, ortaç, asitik, bazı alkali bazik ve silikata doyumsuz volkanitlerde sık rastlanan alkali feldspatlar olmaları nedeniyle bu tür volkanik kayalar üzerinde çalışan araştırmacılar için büyük önem taşımaktadır. Literatürde alkali feldspatların  $K_d$  değerleri konusunda çalışmalar ve veriler olmasına rağmen, bunların farklı bileşimde magma için hangi değerler arasında değişikleri, P/T gibi değişkenlerle nasıl bir ilişki gösterdikleri konusunda bilgi oldukça azdır. Bu eksikliği gidermek amacıyla literatürde 17 makaleden derlenen 16 elementin  $K_d$  değerleri kullanılarak önce bir veri tabanı oluşturulmuş ve ardından bu veriler istatistik yöntemle değerlendirilerek çeşitli  $\text{SiO}_2$  bileşiminde magmalar için en uygun  $K_d$  değerleri belirlenmiştir. Sonuçlar, bir tablo şeklinde düzenlenerek volkanik petroloji konusunda çalışan araştırmacıların kullanımına sunulmaktadır.

Tabloda sunulan  $K_d$  değerleri ayrıca, KD Anadolu'daki Erzurum-Kars Platosu'nun çarpışma kökenli volkanitlerinin fraksiyonel kristalleşme evriminin modellenmesinde kullanılmaktadır.

**Anahtar Kelimeler:** Alkali feldspat, dağılım katsayıları, iz ve nadir toprak elementler.

**ABSTRACT:** Mineral/melt partition coefficients of elements ( $K_{ds}$ ) are of great importance in geochemistry and petrology.  $K_d$  values of various minerals are crucial elements for the petrologic modellings. K-feldspars are among the most important minerals crystallising during magmatic evolution of a volcanic suite and their chemistry has a potential of recording some important data concerning magma evolution. Among alkali-feldspars, sanidine and anorthoclase are the most abundant minerals in especially intermediate, felsic, some alkaline-basic and silica-undersaturated volcanic rocks and hence are of great importance for the researchers who study on these rocks. Although there are some studies and data on the  $K_d$  values of K-feldspars in the literature, the extent to which these values vary with the composition of magma and P/T conditions is not well established. In this paper,  $K_d$  data of 16 elements for K-feldspars were compiled from a total of 17 papers to construct a table of recommended partition coefficient values. Then, these values were statistically evaluated to determine the most appropriate  $K_d$  values for magmas having various  $\text{SiO}_2$  concentrations. The results are presented in a table for researchers working in the field of petrology. Then these values were used in a FC modelling for collision-related volcanic rocks of the Erzurum-Kars Plateau.

**Key words:** alkali feldspar, partition coefficient, trace and rare earth elements.

### GİRİŞ

Dağılım katsayıları (partition coefficients), bir magma-dan kristalleşen mineraller ile o minerallerin içinde oluşturukları magma ergiyiği arasında elementlerin dağılımlarını oransal olarak gösteren katsayılardır. Magma ergiyiği içeren bir sistemde elementler katı ve sıvı fazlar arasındaki kimyasal aktivitelerine göre o fazlara katılırlar; diğer bir deyişle bölümlenirler (partitioned). Magmadan kristalleşen bir mineral içindeki elementlerin katı

ve sıvı fazlar arasında bölümlenmesinin derecesi, *dağılım katsayısı* denilen basit bir oran ile tanımlanır:

$$K_d = \frac{C_{\text{mineral}}^{\text{elementi}}}{C_{\text{melt}}^{\text{elementi}}}$$

Burada:

$K_d$  : bir elementin dağılım katsayısı,  $C_{\text{mineral}}^{\text{elementi}}$  : bir elementin bir mineral içindeki konsantrasyonu (ppm cinsinden),

$C_{\text{mineral}}^{\text{elementi}}$ : aynı elementin magma içindeki konsantrasyonu (ppm cinsinden).

Dağılım katsayıları ( $K_d$ ), ancak kristal fazı ile ergiyik arasında kimyasal dengenin (equilibrium) olması durumunda geçerlidir. Herhangi bir volkanik kaya topluluğu için bu dengenin gerçekten olup olmadığı ise petrografi ve duraylı izotop çalışmaları ile test edilebilir. Petrografik çalışmalarında fenokristallerde reaksiyon kenarlarının ve korozyonun bulunması ve birbirleriyle uyumsuz mineralojik/kimyasal bileşimde minerallerin birlikteliği, dengesizliğin (disequilibrium) kanıtlarıdır.

Dağılım katsayıları, pek çok petroloji ve jeokimya çalışmalarının başlangıç noktasını ve temelini oluştururlar. Magmatik petroloji konusunda gerek kısmi ergime (partial melting) ve özümleme (assimilation) gibi katı fazdan sıvı faz, gerek fraksiyonel kristalleme gibi sıvı fazdan katı faz dönüşümlerde ve gerekse özümleme ile eş zamanlı fraksiyonel kristalleme (AFC: Assimilation combined with Fractional Crystallisation) gibi her iki fazın birbirine dönüşümünün birlikte olduğu kompozit sistemlerde elementlerin davranışının incelenmesinde ve petrolojik modellemesinde kullanılırlar.

Elementlerin, mineraller ile dengede oldukları magma ergiyigi (melt) arasında dağılmını dikkate almaksızın yapılan petroloji ve jeokimya çalışmaları, pek çok hatalara ve yanlış yorumlara yol açabilirler ve açmaktadır. Bir magmatik provensten alınan numunelerin jeokimyasal bileşimlerinin, elementlerin mineral/sıvı arasındaki dağılımları hesaba katılmaksızın, sadece klasikleşmiş bir dizi sınıflama ve ayırtlama (discrimination) diyagramlarına izdüşürlerek yapılan çalışmalar, günümüzde popülerliklerini olmasa da, geçerliliklerini büyük ölçüde yitirmiştir. Bu tür çalışmalar, bir jeokimya çalışmasının sadece tanımsal (descriptive) ilk basamağını oluşturmamalıdır. Bu ilk basamağı, elementlerin katı ve sıvı fazlar arasında farklı fiziko-kimyasal koşullar altında davranışlarını hesapla katan kökene yönelik çalışmalar yani "petrolojik modellemeler" izlemelidir. Jeokimyanın çeşitli konularında son yıllarda yayınlanan uluslararası makalelerin çoğunda petrolojik modellemelere rastlamaktayız (Taylor, 1980; DePaolo, 1981; James, 1982; Powel, 1984; Davidson vd., 1988 ve 1990; Pearce vd., 1990; Güleç, 1991; Aitcheson ve Forrest, 1993; Keskin, vd., 1998b). Bu modellemelerin vazgeçilmez ögesi ise dağılım katsayılarıdır.

Türkçe literatürde dağılım katsayıları konusunda birkaç kitapta yer alan kısa tanımlamalar dışında ne yazık ki kaynak bulunmamaktadır. Bu konuda yabancı literatürde pek çok makale olmasına karşılık sözkonusu katsayıların bazikten asite kadar bütün magma bileşimi ni kapsayacak bir ölçekte değerlendirmesi yapılmamıştır ve bu katsayıların ortamın kimyası ve fizikal koşulları tarafından hangi ölçüde denetlendiği sorununun pek azı çözülebilmiştir. Bu konuda yapılmış olan çalışmalar, yazarların coğulukla dar bir bileşim aralığı için  $K_d$  so-

nuçlarını içermekte olup, bu sonuçların sizin özel probleminize uygun olup olmadığı coğulukla bilinmemektedir. Bu nedenle, yabancı yazarların jeokimya kitaplarda tablolar şeklinde verilen dağılım katsayıları bile, aslında minerallerin içinde oluşturulan fiziko-kimyasal koşulları dikkate almayan yaklaşık değerlerdir ve büyük olasılıkla da sizin probleminize cevap vermektent uzaktırlar.

Bu makalenin amacı, (1) dağılım katsayılarının petroloji ve jeokimya çalışmalarındaki önemini vurgulayarak, (2) alkali feldspat mineral jeokimyası konusunda yayınlanmış çalışmalarındaki  $K_d$  değerlerini, bu değerlerin saptandığı ortamların fiziko-kimyasal koşulları ile birlikte derleyerek bir veri tabanı oluşturmak ve bu verileri istatistik yöntemlerle değerlendirerek volkanik kayaçlarda ana, iz ve nadir toprak elementlerin (NTE) alkali feldspat ile magma eriyiği arasında dağılımlarını incelemek, (3) alkali feldspat dağılım katsayılarının magmaın kimyası ve fizikal koşulları gibi değişkenlerle ilişkisini araştırmak; bu değişkenlerin bağlı önemlerini tartışmak ve (4) istatistik değerlendirme sonucunda bir K-feldspat/ergiyik  $K_d$  tablosu oluşturarak jeokimya ve petroloji konusunda çalışan araştırmacıların kullanımına sunmaktır.

#### $K_d$ VERİ TABANI

Alkali feldspat  $K_d$  değerleri, volkanik kayalardaki K-feldspatlari konu alan 17 ayrı çalışmadan derlenmiştir (Tablo 1). Söz konusu makaleler, K-feldspat  $K_d$  değerleri konusunda şimdiden kadar yayınlanan çalışmaların büyük coğulüğünü içermektedir. Derleme sırasında oluşturulan veri tabanında sadece  $K_d$  değerlerini tespit etmeye yönelik çalışmaların sonuçları kullanılmıştır. Sun ve Hanson (1976), Mahood ve Stimac (1990) ve Keskin'in (1994) anortoklas mineraline ait  $K_d$  sonuçları içeren çalışmaları dışında bütün makaleler sanidin mineralini konu almaktadır. Makalelerden yalnızca Guo ve Green'in (1989) çalışması deneyeldir, diğerleri doğal kaya örneklerindeki mineral-matriks çiftlerinin ayrı ayrı analizleri ile elde edilmişlerdir.

Veri tabanında toplam 89  $K_d$  sonucu bulunmaktadır. Bunlardan 5 adedi anortoklas mineraline diğerleri ise sanidine aittir. Veri tabanında toplam 16 iz ve Nadir Toprak Elementi (NTE) vardır. Volkanik ana kayaların (host rock) bileşimleri fonolit'ten (Sun ve Hanson, 1976; Wörner vd., 1983) pantellerit'e (Mahood ve Stimac, 1990), alkali bazaltlardan (Philpotts ve Schnetzler, 1970; Villemant vd., 1981) trakit (Nagasawa, 1971 ve 1973; Lemarchand vd., 1987; Mahood ve Stimac, 1990), riolit (Leeman ve Phelps, 1981; Stix ve Gorton, 1990; Keskin, 1994) ve yüksek silisyumlu riolit'e (Mahood ve Hildreth, 1983) kadar uzanan tüm  $\text{SiO}_2$  spektrumunu kapsar (Tablo 1). Çalışmalar arasında sadece Stix ve Gorton'in (1990) kristalleme sıcaklığı verisi vardır.

Guo ve Green'in (1989) deneysel çalışmasında ise, deney koşulları denetlendiği için, sıcaklık ve basınç değerlerinin her ikisi de verilmektedir. Söz konusu veri tabanı, çok yer kaplayarak makaleyi gereksiz yere uzatacagi için bu makalede verilmemiştir.

**Table 1 :** K-feldspat  $K_d$  değerlerinin derlendiği kaynaklar.

**Tablo 1 :** Source of  $K_d$  data evaluated in this paper.

SANIDIN
<b>Doğal materyal</b>
1 Philpotts ve Schnetzler (1970)
2 Nagasawa (1971)
3 Nagasawa (1973)
4 Arth (1976)
5 Hildreth (1977)
6 Cox vd. (1979)
7 Leeman ve Phelps (1981)
8 Villemant vd. (1981)
9 Mahood ve Hildreth (1983)
10 Wörner vd. (1983)
11 Nash ve Crecraft (1985)
12 Lemarchand vd. (1987)
13 Mahood ve Stimac (1990)
14 Stix ve Gorton (1990)
<b>Deneysel</b>
15 Guo ve Green (1989)
<b>ANORTOKLAS</b>
16 Sun ve Hanson (1976)
13 Mahood ve Stimac (1990)
17 Keskin (1994)

### **$K_d$ DEĞERLERİNİN HESAPLANMASINDA KULLANILAN YÖNTEMLER VE HATALARIN KAYNAĞI**

Mineral-matriks çiftlerinden elde edilen  $K_d$  değerleri için başlica iki farklı yöntem izlenmektedir. Bunlardan birincisinde doğal kaya numuneleri mekanik yöntemlerle kırılır ve içerdikleri K-feldspat ve matriks binoküler mikroskop altında el veya fiziksel ayırma yöntemlerinden biri ile toplanır. Bunlar gerekli numune hazırlama işlemlerinden sonra XRF, INAA (Instrumental Neutron Activation) veya ICP-MS (Inductively Coupled Plasma Mass Spectrometry) gibi yöntemlerden biri ile analiz edilirler. İkinci yöntemde ise mineraler, Elektron Mikro-Probe, İyon Prob, Proton Prob veya Laser Ablation gibi ışın huzmesi içeren analitik aygıtlarla yerinde (*in situ*) analiz edilmektedirler.

Deneysel çalışmalarında doğal veya sentetik materyaller P/T ve O fugasitesi ve diğer koşulları denetlenen bir ortamda kristallenmeye bırakılırlar. Deney her seferinde koşulların değiştirilmesi ile tekrar edilir. Elde edilen kristaller ve matriks yukarıda tanımlanan ayıklama veya *in situ* yöntemlerden biri ile analiz edilir ve  $K_d$  değerleri saptanır. Deneysel tekniklerin fenokristal-matriks

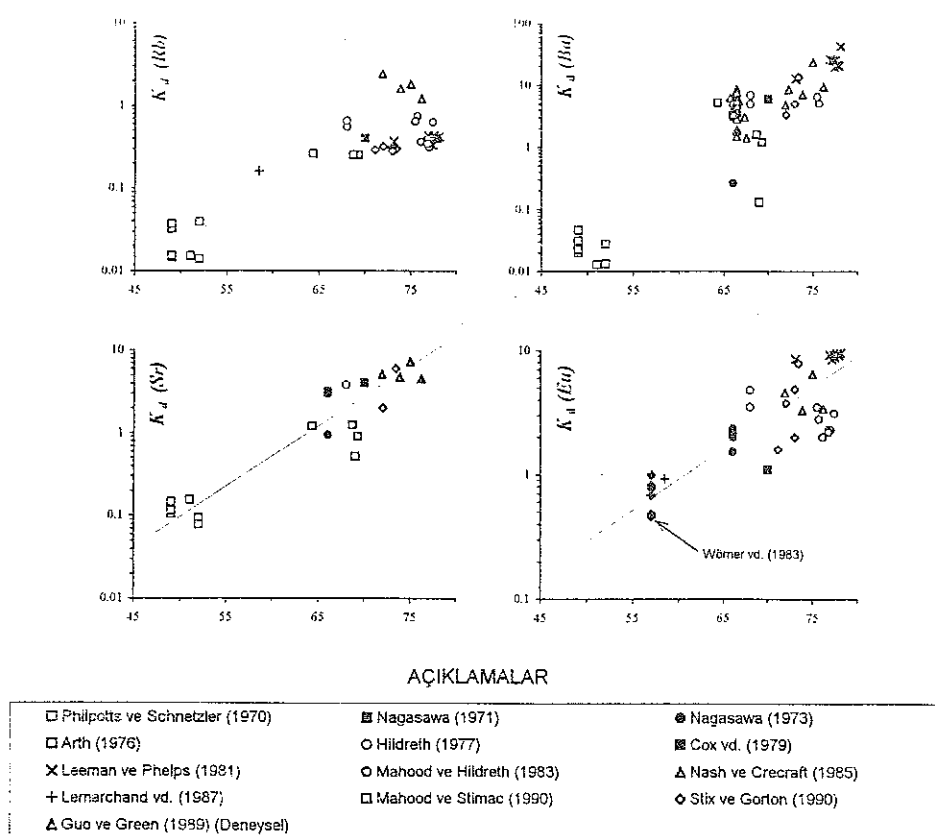
yöntemine göre avantajı,  $K_d$  değerlerinin fiziko-kimyasal koşullarla olan ilişkisi ve kristallerin yapılarına bağlı olarak iz element davranışlarındaki değişikliklerin kantitatif olarak değerlendirilebilir olmasıdır (Irving, 1978). Deneysel yöntemin de bazı eksiklikleri vardır. Bunlardan en önemlisi, laboratuvar ortamında yaratılan deney sisteminin karmaşık doğal sistemleri tam anlamıyla sümüle edemeyeceği geçegidir.

Doğal sistemler, birbirlerine bağlı veya bağımsız pek çok değişkenin etkin olabildiği karmaşık sistemlerdir. Bu nedenle doğal sistemlerde oluşmuş kayalardaki mineral-matriks çiftlerinden elde edilen  $K_d$  değerlerinde analitik hata dışında, hataya neden olabilecek diğer bir dizi faktör de söz konusudur. Kristal büyümesi sırasında magma ile kristaller arasında ortaya çıkabilen dengesizlik (Pearce ve Norry, 1979) veya özellikle bazı Nadir Toprak Elementlerce (NTE) zenginleşmiş, mikroskopla görülemeyecek kadar küçük aksesuar mineral kapanımlarının varlığı (Mahood ve Hildreth, 1983)  $K_d$  değerlerinde kuvvetli dalgalanmalara neden olabilir. Laboratuarda mineral ayıklaması sırasında mineral ve matriks fazlarının birbirlerinden yeterince iyi ayrılamaması da hatalara kaynaklık eder. Bunun dışında  $K_d$  değerleri, P/T, magmanın kimyasal bileşimi ve O fugasitesi gibi değişkenlere bağlı olarak büyük değişimler gösterirler. Ancak bir volkanik istiften derlenen volkanik numunelerde mineralerin kristalleşme koşullarını (paleo-termo ve barometre formülasyonlarındaki bütün gelişmelere karşı) hassaslıkla saptamak da pek çok durumlarda mümkün olamamaktadır. Bu nedenle hesaplanan  $K_d$  değerleri ile fiziko-kimyasal parametreler arasında gerçekte varolan ilişkiyi saptamak çoğu durumlarda zordur ve hatta olağansızdır.

### **$K_d$ DEĞERLERİNİN İSTATİSTİK DEĞERLENDİRİLMESİ**

Yukarıda kısaca dephinildiği gibi mineralerin  $K_d$  değerleri, o mineralerin kristallendiği ortamda P/T, O fugasitesi ve ergiyinin kimyasal bileşimi ile sıkı bir ilişki gösterirler. Bu parametrelerin bağlı önemleri, fiziko-kimyasal koşullardaki farklılıklara bağlı olarak bir sistemden diğerine ve hatta aynı sistem içinde zamana bağlı olarak değişimlidir. Veri tabanını oluşturmada yararlanılan makalelerin çoğunda ne yazık ki P/T ve O fugasitesi değerleri verilmemiştir ve bu nedenle söz konusu değişkenlerin bağlı önemlerini ve birbirleri ile ilişkilerini istatistik ve matematiksel olarak saptamak ve bu ilişkilerin derecesini tartışmak mümkün değildir. Geriye sadece ergiyinin kimyası kalmaktadır.

Birçok yazar, magma ergiyinin  $\text{SiO}_2$  içeriğini  $K_d$  değerlerini denetleyen parametrelerden en önemlisi 'saymaktadır. Pearce ve Norry (1979) Ti, Zr, Y ve Nb elementleri için yapmış oldukları  $K_d$  derlemesinde (compilation) magma ergiyinin  $\text{SiO}_2$  değerini esas parametre



**Şekil 1.** Alkali feldspatlarda Rb, Ba, Sr ve Eu  $K_d$  değerlerinin magma ergiyigini temsil eden matriksin  $\text{SiO}_2$  değeri ile korelasyonu.

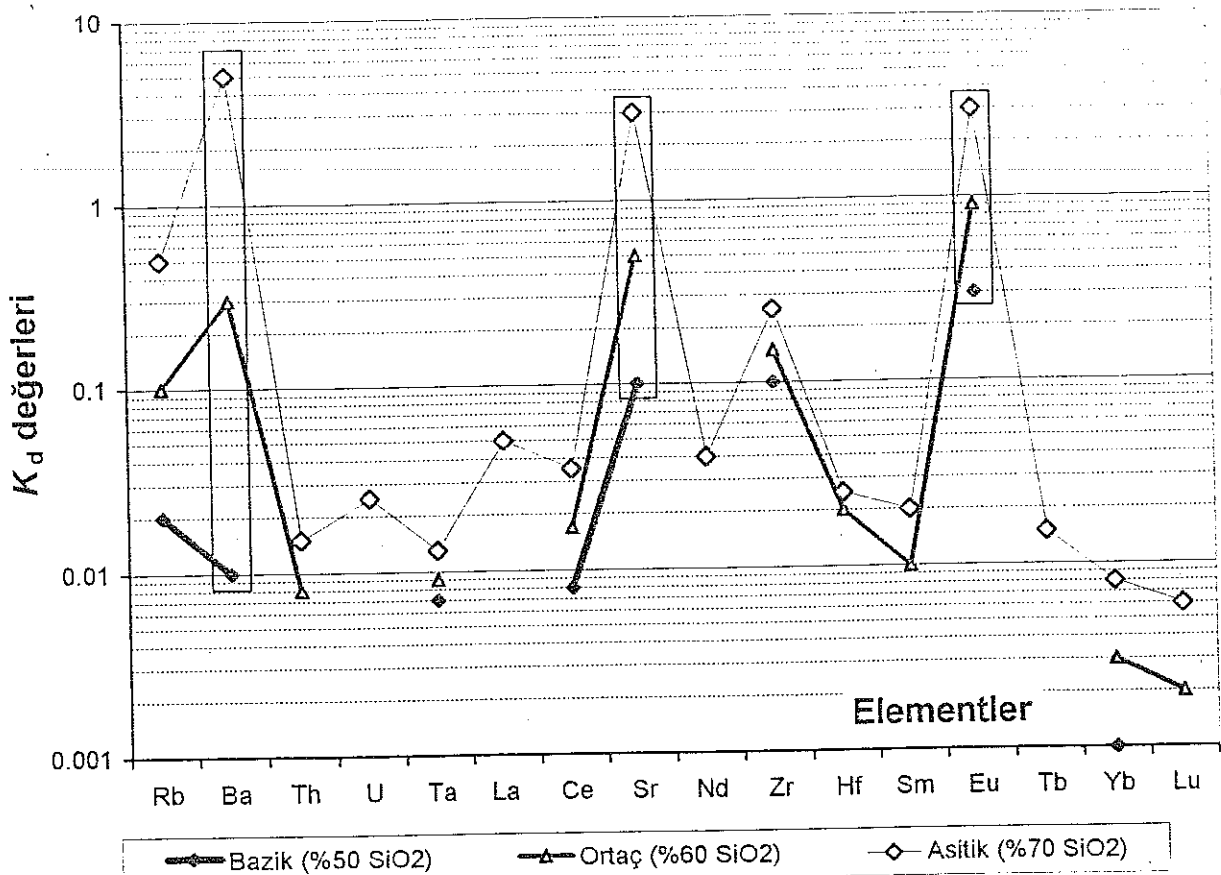
**Figure 1.** Correlation of  $K_d$  values of Rb, Ba, Sr and Eu in alkali feldspars with  $\text{SiO}_2$  values of their matrix.

olarak kullanılmışlardır. Watson (1976) ve Ryerson ve Hess (1978) çalışmalarında,  $\text{SiO}_2$ 'nin diğer değişkenlerle (P/T) de iyi bir korelasyon gösterdiğini kanıtlamışlardır. Mahood ve Hildreth (1983) da silisyumca zengin magmalarda bileşimsel etkilerin birincil, sıcaklık etkisinin ise ikincil önemde olduğunu kabul etmektedir. Bilindiği gibi  $\text{SiO}_2$ , magma ergiyiginin evrimleşme derecesini gösteren önemli bir parametredir ve dolayısıyla birçok magmatik sisteme ayırmalıma indeksi (FI: Fractionation Index) olarak kullanılır.

$K_d$  değerlerinin  $\text{SiO}_2$  ile korelasyonunu inceleyebilmek amacıyla K-feldspatlara ait veri tabanındaki 16 elementin her birine ait  $K_d$  değeri, içinden mineral numunesinin ayıklanmış olduğu ana kayanın matriksinin  $\text{SiO}_2$  değerine karşı nokta diyagramlarına (scatter diagrams) izdüşürlülmüştür. Verilerde matriks  $\text{SiO}_2$  değeri bulunmadığı durumlarda ana kayanın  $\text{SiO}_2$  değeri matriks olarak kabul edilmiştir. Şekil 1'de bu elementlerin en önemlilerinden Rb, Ba, Sr ve Eu'un magma sıvısının  $\text{SiO}_2$  değeri ile ilişkisi görülmektedir. Fazla yer kaplamaları nedeniyle diğer elementler şekele dahil edilmemişlerdir.  $K_d$  değerlerinin tümü, magma sıvısının  $\text{SiO}_2$  değeri ile pozitif bir korelasyon göstermektedir. Asitik bileşimli magmadan kristalleşen K-feldspatlarda bazı

elementlerin  $K_d$  değerleri bazik uçtanın yüzlerce (Sr ve Rb, Eu için) ve hatta binlerce (Ba için) katına ulaşabilmektedir (Şek. 1 ve 2). Bu değerlerden bir kısmı esas gidişten (main trend) farklı derecelerde sapma göstermektedirler. Bu sapmaların tahminen küçük bir kısmı kaynak olarak kullanılan makalelerdeki analitik hataya bağlıdır. Saçılımaların büyük kısmı ise  $K_d$  değerlerinin sıcaklık, basınç, O aktivitesi gibi makalelerde belirtilmeyen parametrelerle bağımlılığı sonucu ortaya çıkmaktadır.

Bu korelasyonun derecesini saptamak ve bazik, ortaç ve asitik volkanik kayalarından her biri için her elementin en uygun dağılım katsayıları değerlerini belirlemek amacıyla en küçük kareler yöntemi (least square method) kullanılmıştır. Her bir elementin  $K_d$  değerleri bağımlı değişken (dependent variable), matriks  $\text{SiO}_2$  değerleri ise bağımsız değişken (independent variable) olarak kabul edilerek nokta diyagramlarındaki veri noktalarına en uygun doğrular (best-fit line) hesaplanmıştır. Söz konusu lineer regresyon doğrularından yararlanılarak bu 16 iz elementin sırasıyla bazik (%50  $\text{SiO}_2$ ), ortaç (%60  $\text{SiO}_2$ ) ve asitik (%70  $\text{SiO}_2$ ) magma bileşimleri için optimum  $K_d$  değerleri belirlenmiştir. Söz konusu değerler Şek. 2'deki örümcek diyagramında azalan uyumsuzluk-



**Şekil 2.** Bazik, ortaç ve asitik magma ile alkali feldspatlar arasında elementlerin dağılım desenini (pattern) gösteren diyagram.  $K_d$  değerleri, istatistik olarak saptanmış olan ve Tablo 2'de önerilen değerlerdir. X eksenindeki elementler, solda sağa doğru yani Rb'dan L'a azalan uyumsuzluklarına (incompatibility) göre dizilmişlerdir.

**Figure 2.** Diagram displaying distribution patterns of the elements between alkali feldspars and magmas of basic, intermediate and acidic composition.  $K_d$  values have been determined statistically and given in Table 2 as recommended values. The elements on the horizontal axis are arranged in accordance with their decreasing incompatibility from Rb to Lu.

lara göre sıralanarak gösterilmektedir. Böylece bazalttan riyolite kadar geniş bir spektrumdaki volkanik kayaçlar için petroloji çalışmalarında kullanılabilen  $K_d$  değerlerini elde edilmiş ve tablo formunda Tablo 2'de sunulmuştur. Tablodaki italik değerler, saçılma nedeniyle standart hatanın yüksek olduğu ve bu nedenle yaklaşık olarak kabul edilen değerlerdir.

#### ÖNERİLEN $K_d$ DEĞERLERİNİN BİR FC MODELLEMESİNE KULLANIMI

Önerilen alkali feldspat  $K_d$  değerleri, Erzurum-Kars Platosu'nun çarpışma kökenli volkanitlerinin fraksiyonel kristallenme evrimini irdeleyen bir Rayleigh fraksiyonel kristallenme (FC) modellemesinde kullanılmış ve Şek. 3'de sunulmuştur. Söz konusu platonun volkanostratigrafisi ve temel jeokimyası Keskin (1994), Keskin (1998) ve (Keskin vd. 1998)'de ayrıntılı bir şekilde verilmektedir ve dolayısı ile bu konulara burada tekrar değinilmeyecektir. Şek. 3-a ve -b'deki vektör rozetleri üzerinde görülen her bir vektör, magmadan fraksiyonel

kristallenme (FC) ile belli bir mineralin veya mineral topluluğunun belirli oranda (şekilde % 0'dan % 50'ye kadar) ayrılması sonucunda magma bileşiminin diyagramlar üzerinde hangi yönde ne oranda evrim geçirerek ne tür bir trend (vektör) oluşturacağı teorik olarak göstermektedir. Bu vektörlerin oluşturulmasında kullanılan diğer mineralerin  $K_d$  değerleri, Keskin (1994)'den alınmıştır. Rayleigh FC vektörlerinin teorisini, hesaplanması ve yorumlaması Keskin (1995-1996)'de verilmektedir.

Bir volkanik provensteki numunelerin veri noktalarının oluşturduğu gerçek trendler ile teorik trendleri (vektörleri) karşılaştırarak, volkanizmayı besleyen magma odalarındaki kristallenme evrimi hakkında yaklaşım larda bulunmak mümkündür. Şek. 3-b'de Ba'un Rb 100 ppm'e ulaşana dek sürekli artması, Erzurum-Kars Plato'su'nda alkali feldspatın bu noktaya kadar kristallenmeye katılmadığını göstermektedir. Bu noktadan itibaren, yani magma odaları içindeki FC evrimi taban bimodal seviye içindeki asit lav ve ignimbritler ile platonun en üstündeki felsik domları besleyeceğ derecede  $SiO_2$  konsantras-

**Table 2 :** 2. Bazik, ortaç ve asitik magma için önerilen K-feldspat  $K_d$  değerleri. İtalik olanlar yaklaşık değerlerdir.

**Table 2 :** 2. Recommended K-feldspat  $K_d$  values for mafic, intermediate and acid magmas. Italics are the approximate values evaluated in this paper.

	Bazik (%50 SiO <sub>2</sub> )	Ortaç (%60 SiO <sub>2</sub> )	Asitik (%70 SiO <sub>2</sub> )
Rb	0.02	0.1	0.5
Ba	0.01	0.3	5
Th	-	0.008	0.015
U	-	-	0.025
Ta	0.007	0.009	0.013
La	-	-	0.05
Ce	0.008	0.017	0.035
Sr	0.1	0.5	3
Nd	-	-	0.04
Zr	0.1	0.15	0.25
Hf	-	0.02	0.025
Sm	-	0.01	0.02
Eu	0.3	0.9	3
Tb	-	-	0.015
Yb	0.001	0.003	0.008
Lu	-	0.002	0.006

yonuna ulaştığında, alkali feldspatin FC'a gitgide ege- men olduğunu görmekteyiz; çünkü Ba bu noktadan itibaren hızla düşmektedir. K-feldspatin egemen olduğunu en büyük kanıtı, Şek. 3-b'de plato üzerindeki felsik domlar ve bimodal taban seviyesini oluşturan veri nok- talarının oluşturduğu gidişin, asit magma bileşimi için hesaplanmış olan sanidin vektörüne (*Sanidin (A)*) çok iyi paralellik göstermesidir. Bu sırada sodik plajiolklas da K-feldspata yaygınca eşlik etmiş olmalıdır. Çünkü Şek. 3-a'da görüldüğü gibi alkali feldspata oranla plajiolklas kristallenmesine daha fazla duyarlı olan Sr'un da aynı Rb değerinden (yaklaşık 100 ppm) itibaren hızla azaldığını ve asit bileşimli magma için modellenmiş olan plajiolklas vektörüne (*Plg (A)*) çok iyi uyum gösterdiğini görmekteyiz.

Burada ilginç olan nokta, alkali feldspat FC'una iliş- kin güçlü jeokimyasal kanıtlara rağmen Erzurum-Kars Platosu'nun Bimodal taban seviyesindeki asitik lav ve ignimbritler ile platonun en üstündeki felsik domların büyük çoğunluğunun tamamen camsı-afirik olmaları, feldspat veya başka bir mineraile ait fenokristal içerme- meleridir. Bunun nedeni, magma odası içindeki diferansiasyon ve zonlanma ile büyük hacimlerdeki feldspatin, magma sıvısından ayrılmış olmasıdır.

## SONUÇLAR

Element/magma dağılım katsayıları ( $K_d$ ), magmatik petroloji ve jeokimyada bir çok modellemenin temelini oluşturan değerlerdir. Bu katsayılar, elementlerin katı ve

sıvı fazlar arasındaki bölümlemesini gösterirler ve orta- min P/T koşuları, O fugasitesi, kimyasal bileşimi gibi bir dizi değişken ile korelasyon sunarlar. Bu değişkenler arasında SiO<sub>2</sub> değeri, bütün değişkenlerle korelasyon göstermesi açısından en önemli parametredir. Bu çalışmada literatürde alkali feldspat  $K_d$  değerleri konusunda 17 ayrı makaleden toplam 16 iz ve NTE için veri derlenmiş, veriler istatistik yöntem ile değerlendirilerek bazik (%50 SiO<sub>2</sub>), ortaç (%60 SiO<sub>2</sub>) ve asit (%70 SiO<sub>2</sub>) magma bileşimleri için en uygun  $K_d$  değerleri saptanmıştır. Önerilen sonuçlar bir tablo şeklinde magmatik petroloji konusunda çalışanların kullanımına sunulmuştur. Tabloda sunulan Sr, Ba ve Rb elementleri için  $K_d$  değerleri, bir Rayleigh FC vektör modellemesinde kullanılmış ve Erzurum-Kars Platosu volkanizmasının FC evrimine yaklaşımında bulunulmuştur. Modellemeye göre, platonun tabanı ve tavanında bulunan afirik asitik lav ve ignimbritler, magma odası evrimleri sırasında şiddetli bir K-feldspat FC'una sahne olmuşlardır. Gravitatif ayrimlaşma ve magma odası içindeki zonlanma nedeniyle bu kristallerin büyük bölümü magma sıvısından ayrılmış ve sonuçta feldspat kristallenmesi konusunda geriye he- men hiç petrografik kanıt kalmamış olmalıdır.

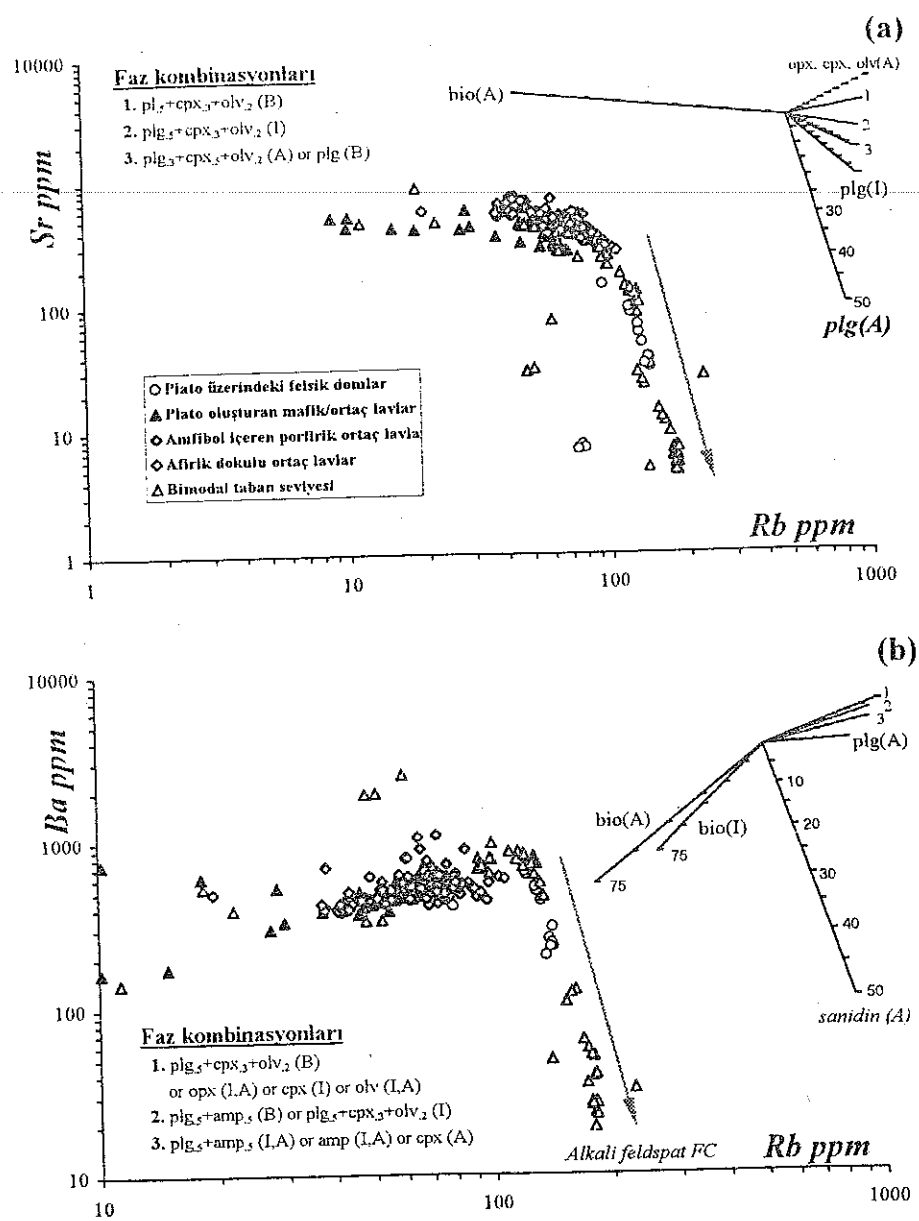
## KATKI BELİRTME

Doktora çalışmam sırasında danışmanlığımı yapmış olan Dr. Julian A. PEARCE ve Dr. Dave HIRST'e yapı- ci eleştiri ve katkıları için teşekkürlerimi sunarım.

## SUMMARY

The extent to which an element is incorporated into a mineral crystallising from magma can be expressed by means of a *partition coefficient*. A partition coefficient is defined as the ratio of concentration of an element in a particular mineral to the concentration of the same element in the matrix representing the melt. Mineral/melt partition coefficients of elements ( $K_d$ s) are among the most important variables widely used in petrogenetic modellings. The validity of  $K_d$ s is dependent upon the existence of equilibrium between the phenocryst phases and the melt. Mineral phenocrysts can be examined for the existence of equilibrium or disequilibrium following two main ways; petrographic studies and stable isotopic analyses of minerals.

The value of  $K_d$  depends on several variables such as composition, pressure, temperature and oxygen fugacity of the mineral-liquid system, and also on crystal chemistry. Therefore, a single  $K_d$  value for a mineral alone is usually meaningless. Partition coefficients ideally should be evaluated as functions of one or a set of these physical and chemical variables, many of which are co-variant in natural systems. In most cases, isolating one of these effects from others is a difficult problem



**Şekil 3 .** Erzurum-Kars Platosu'nun çarpışma kökeli volkaniklerinde Ba ve Sr'un Rb'a karşı davranışını gösterir log-log diyagramlar. Teorik Rayleigh fraksiyon vektörleri diyagramlara birey mineralerinin ve ayrıca mineral toplulularının kristalizasyonunu modelleyecek şekilde izdüşürtülmüşlerdir. Her bir vektör için, kristallemesi olası mineralerin % oranlarını (faz kombinasyonları), diyagramda verilmiştir. Vektörler, %50 kristalizasyon için modellenmişlerdir ve üzerlerindeki çizgiler, %10 kristalleme basamaklarına karşılık gelmektedir.

Diyagram, plato volkanizmasını besleyen magma odalarında fraksiyonel kristalleme evriminin sonlarına doğru alkali feldspat ve plajiolik kristallenmesinin gitgide daha fazla egemen olduğunu göstermektedir. **Kısaltmalar:** plg: plajiolik san: sanidin, olv: olivin, bio: biotit, cpx: klinopyroksen. B: bazik, I: ortaç, A: asit bileşimli magma.

**Figure 3.** Log-log diagram showing behaviour of Ba and Sr against Rb in collision-related lavas of the Erzurum-Kars Plateau. Log-log diagram showing behaviour of Ba and Sr against Rb in collision-related lavas of the Erzurum-Kars Plateau. Theoretical Rayleigh fractionation vectors have been modelled for both crystallisation of individual mineral phases and phase assemblages. Percentages of minerals (phase combinations) which are likely to crystallise are given on each diagram. The vectors are designed for 50% crystallisation and short lines on each vector indicate 10% crystallisation intervals.

Diagrams indicate that FC of alkali feldspar associated with plagioclase dominated the FC history in magma chambers that fed the volcanism on the plateau.

Key to abbreviations: plg: plagioclase san: sanidine, olv: olivine, bio: biotite, cpx: clinopyroxene; B: basic I: intermediate, A: acid.

The mineral-melt partition data come from two basically different sources: (1) analyses of phenocryst-matrix pairs of natural rock samples; and (2) synthesis of equilibrium crystalline and melt phases using experimental techniques that are carried out under controlled melt composition, temperature, pressure and oxygen activity conditions followed by their analysis.

Among the papers published to date, most of the data have been obtained by analyses of separated mineral phenocrysts and the matrix, which theoretically represents the magmatic liquid in which these phenocrysts crystallised. Different analytical techniques having different sensitivities including X-Ray, Electron Probe, Instrumental Neutron Activation (INAA) and recently Inductively Coupled Plasma Mass Spectrometer (ICP-MS) analysis have been used by the researchers to determine the major and trace element concentrations of these two phases for several rock-forming minerals. In this method, analytical error is only one of the factors affecting the reliability of  $K_d$  determinations. Variations in  $K_d$  values arise from several factors predominantly as a result of the complexity of natural systems including change in distribution coefficients during crystal growth (Pearce and Norry, 1979), disequilibrium between the minerals and magmatic liquid, and presence of sub microscopic accessory mineral inclusions which are generally strongly enriched in some trace and REE elements. Inefficiency of phase separation also causes errors. One of the weakest aspects of this method is that, it is difficult to determine the crystallisation conditions i.e. temperature, pressure and oxygen activity of the mineral-melt system upon which  $K_d$  values are strongly dependent.

K-feldspars are some of the most important minerals crystallising in a volcanic suite. Furthermore, chemistry of these minerals may supply us with some important information concerning magma evolution. Among them, sanidine and anorthoclase are the most abundant minerals in especially intermediate, felsic, some alkaline-basic and silica-undersaturated volcanic rocks. Therefore, these two minerals are quite important for those who study on these rocks.

Although there are some studies and data on the  $K_d$  values of K-feldspars in international papers and books, the extent to which these values vary with the composition of magma and P/T conditions is not well established. To my knowledge, in Turkish literature, we have not got any papers on  $K_d$ s of K-feldspars except for a few textbooks which give a short description of the concept of partitioning of elements between minerals and melt.

Although the relative importance of the main factors including P/T, Oxygen fugacity and composition varies with respect to the physical/chemical conditions of the system,  $\text{SiO}_2$  content of the melt is considered to be the most significant single factor that controls  $K_d$ s. It also,

in general, correlates with other factors, as well proven in studies by Watson (1976) and Ryerson and Hess (1978). In their compilation, Pearce and Norry (1979) used  $\text{SiO}_2$  content of the melt as the main independent variable to estimate their recommended  $K_d$ s for Ti, Zr, Y and Nb. Mahood and Hildreth (1983) also consider compositional effects to be of first importance while temperature effects to be of secondary importance in silicic magmas. The  $\text{SiO}_2$  content of the melt is readily available in all of the papers unlike temperature, pressure and oxygen fugacity. Therefore,  $\text{SiO}_2$  content of the melt has been selected and used as the main parameter in this study.

In this paper,  $K_d$  data of 16 elements for K-feldspars were compiled from a total of 17 papers to construct a table of recommended  $K_d$  values for acidic, intermediate and basic volcanic rocks. Only those papers, which have specifically aimed establishing appropriate partition coefficients, have been used for the compilation. Host-rock and, when available, matrix compositions presented in these papers almost completely cover the compositional range of  $\text{SiO}_2$  from basalts to rhyolites. The source of partitioning data is summarised in Table 1.

The mineral/melt  $K_d$ s obtained from these papers were plotted against the  $\text{SiO}_2$  contents in their matrix for each element.  $K_d$ s for most of the elements display a positive correlation with the acidity of their melt and can be as much as thousand times higher in acid than in basic melts (e.g. Ba). A best fit (linear regression) line indicating the general trend between the partition coefficients and the  $\text{SiO}_2$  has been drawn through data points on each diagram. Then, mineral-melt partitioning values for basic, intermediate and acidic rocks have been determined on these lines for each element at 50, 60 and 70%  $\text{SiO}_2$  respectively. The results are presented in Table 2 and Figure 2. They can be conveniently used by petrologists who deal with K-feldspars and need reliable  $K_d$  data. These recommended values were used in a FC modelling for collision-related volcanic rocks of the Erzurum-Kars Plateau (Fig. 3).

## DEĞİNİLEN BELGELER

**Aitchison, S. J. ve Forrest, A. H. (1993), Quantification of crustal contamination in open magmatic systems, *Journal of Petrology*, V. 35, Part: 2, pp. 461-488**

**Arth, J. G. (1976), Behaviour of trace elements during magmatic processes -a summary of theoretical models and their applications, *Journal of Research, U.S. Geological Survey*, V. 4, 41-47**

**Cox, K. G., Bell, J. D. ve Pankhurst, R. J. (1989), *The Interpretation of Igneous Rocks*, sixth edition, Unwin Hyman, London**

- Davidson, J.P., Ferguson, K.M., Colucci, M.T. ve Dungan, M.A. (1988),** The origin and evolution of magmas from the San Pedro-Pellado volcanic complex, S. Chile: multicomponent sources and open system evolution, *Contributions to Mineralogy and Petrology*, V. 100, pp. 429-445
- Davidson, J.P., McMillan, N.J., Moorbath, S., Wörner, G., Harmon, R.S. ve Lopez-Escobar, L. (1990),** The Navados de Payachata volcanic region (18°S/69°W, N. Chile) II. Evidence for widespread crustal involvement in Andean magmatism, *Contributions to Mineralogy and Petrology*, V. 105, pp. 412-432
- DePaolo D. J. (1981),** Trace element and isotopic effects of combined wall-rock assimilation and fractional crystallisation, *Earth and Planetary Science Letters*, V. 53, pp. 189-202
- Guo, J. ve Green, T.H. (1989),** Barium partitioning between alkali feldspar and silicate liquid at high temperature and pressure, *Contributions to Mineralogy and Petrology*, V. 102, pp. 328-335
- Güleç, N. (1991),** Crust – Mantle interaction in Western Turkey: implications from Sr and Nd isotope geochemistry of Tertiary and Quaternary volcanics, *Geological Magazine*, V. 128, pp. 417-435
- Hildreth, E.W. (1977),** The magma chamber of the Bishop Tuff: gradients in temperature, pressure and composition, *PhD thesis, University of California, Berkeley*, 328 p.
- Irving, A.J. (1978),** A review of experimental studies of crystal/liquid trace element partitioning, *Geochimica et Cosmochimica Acta*, V. 42, pp. 743-770
- James, D.E. (1982),** A combined O, Sr, and Pb isotopic and trace element study of crustal contamination in Central Andes lavas, I. Local geochemical variations, *Earth and Planetary Science Letters*, V. 57, pp. 47-62
- Keskin, M. (1994),** Genesis of collision-related volcanism on the Erzurum-Kars Plateau, North Eastern Turkey Unpublished, *PhD thesis, University of Durham*, 358 p.
- Keskin, M. (1996-1997),** Pasinler Platosu'ndaki Çarpışma-Kökenli Volkanik İstifin Volkano-Stratigrafisi, Jeokimyası ve Magma Odası İşlemlerinin Petrolojik Modellemesi; Erzurum-Kars Platosu, KD Anadolu, İ.Ü. *Yerbilimleri Dergisi*, V. 10, s. 59-57.
- Keskin, M. (1998)** Erzurum-Kars Platosu'nun Çarpışma Kökenli Volkanizma Volkano–Stratigrafisi ve yeni K/Ar Yaş Bulguları Işığında Evrimi, Kuzeydoğu Anadolu, *M.T.A. Dergisi*'nde baskında.
- Keskin, M. Pearce, J. A. ve Mitchell, J. G. (1998),** Volcano-Stratigraphy and Geochemistry of Collision-Related Volcanism on the Erzurum-Kars Plateau, North Eastern Turkey, *Journal of Volcanology and Geothermal Research*, V. 85, pp. 355-404.
- Leeman, W.P. ve Phelps, D.W. (1981),** Partitioning of rare elements and other trace elements between sanidine and coexisting volcanic glass, *Journal of Geophysical Research*, V. 86, no. B11, pp. 10193-10199
- Lemarchand, F., Villemant, B. ve Calas, G. (1987),** Trace element distribution coefficients in alkaline series, *Geochimica et Cosmochimica Acta*, V. 51, pp. 1071-1081
- Mahood, G. ve Hildreth, W. (1983),** Large partition coefficients for trace elements in high-silica rhyolites, *Geochimica et Cosmochimica Acta*, V. , pp. 11-30
- Mahood, G.A. ve Stimac, J. A. (1990),** Trace-element partitioning in pantellerites and trachytes, *Geochimica et Cosmochimica Acta*, V. 54, pp. 2257-2276
- Nagashawa H. (1971)** Partitioning of Eu and Sr between coexisting plagioclase and K-feldspar, *Earth and Planetary Science Letters*, V. 13, pp. 139--144
- Nagashawa H. (1973),** Rare-earth distribution in alkali rocks from Oki-Dogo Island, Japan, *Contributions to Mineralogy and Petrology*, V. 39, pp. 301-308
- Nash, W. P. ve Crecraft, H. R. (1985),** Partition coefficients for trace elements in silicic magmas, *Geochimica et Cosmochimica Acta*, V. 49, pp. 2309-2322
- Pearce, J. A. ve Norry, M. J. (1979),** Petrogenetic implications of Ti, Zr, Y, and Nb variations in volcanic rocks, *Contributions to Mineralogy and Petrology*, V. 69, pp. 33-47
- Pearce, J.A., Bender, J.F., De Long, S.E., Kidd, W.S.F., Low, P.J., Güner, Y., Saroğlu, F., Yılmaz, Y., Moorbath, S. ve Mitchell, J.G. (1990),** Genesis of collision volcanism in Eastern Anatolia, Turkey, *Journal of Volcanology and Geothermal Research*, V. 44, pp. 189-229
- Philpotts, J.A. ve Schnetzler, C.C. (1970)** Phenocryst-matrix partition coefficients for K, Rb, Sr and Ba, with applications to anorthosite and basalt genesis, *Geochimica et Cosmochimica Acta*, V. 34, pp. 307-322
- Powell, R. (1984),** Inversion of the assimilation and fractional crystallisation (AFC) equations: characterisation of contaminants from isotope and trace element relationships in volcanic suites, *Journal of Geological Society of London*, V. 141, pp. 447-452
- Ryerson, F. J. ve Hess, P.C. (1978),** Implications of liquid-liquid distribution coefficients to mineral-liquid partitioning, *Geochimica et Cosmochimica Acta*, V. 42, pp. 921-932
- Stix, J. ve Gorton, M.P. (1990),** Variations in trace element partition coefficients in sanidine in the Cerro

- Toledo rhyolite, Jemez Mountains, New Mexico: effects of composition, temperature, and volatiles, *Geochimica et Cosmochimica Acta*, V. 54, pp. 2697-2708
- Sun, S. S. ve Hanson, G. N. (1976)**, Rare earth element evidence for differentiation of McMurdo Volcanics, Ross Island, Antarctica, *Contributions to Mineralogy and Petrology*, V. 54, pp. 139-155
- Taylor, H.P. (1980)**, The effects of assimilation of country rocks by magmas on  $^{18}\text{O}/^{16}\text{O}$  and  $^{87}\text{Sr}/^{86}\text{Sr}$  systematics in igneous rocks, *Earth and Planetary Science Letters*, V. 47, pp. 243-254
- Villemant, B. Jaffrezic, H., Joron, J. L. ve Treuil, M. (1981)**, Distribution coefficients of major and trace elements; fractional crystallisation in the alkali basalt series of Chaine des Puys (Massif Central, France), *Geochimica et Cosmochimica Acta*, V. 45, 1997-2016
- Watson, E. B. (1976)**, Two-liquid partition coefficients: experimental data and geochemical implications, *Contribution to mineralogy and Petrology*, V. 56, pp. 119-134
- Wörner, G., Beusen, J.-M., Duchateau, N., Gijbels, R. ve Schmincke, H.-U. (1983)**, Trace element abundances and mineral-melt distribution coefficients in phonolites from the Laacher See Volcano (Germany), *Contributions to Mineralogy and Petrology*, V. 84, pp. 152-173

Makalenin geliş tarihi: 12.01.1998

Makalenin yayına kabul tarihi: 04.05.1998

Received January 12, 1998

Accepted May 04, 1998